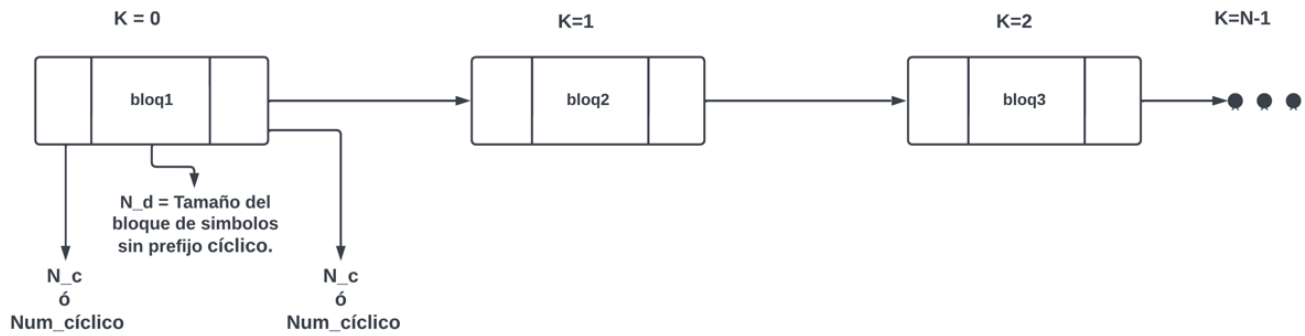


▼ Multiplexación por división de frecuencias ortogonales -OFDM-

Bloques de datos OFDM



▼ Librerías

```
1 import numpy as np
2 import matplotlib.pyplot as plt
3 import scipy.stats as scs
4 import random
5 from scipy.stats import chi2
6 from math import sqrt
7 import math
8 import sympy as sp
```

▼ Parámetros comunes para ciclo estacionario y para detector de energía

$$\sigma_s = 1$$

$$P_{FA} = 0.05$$

$NUM_STATISTICS = 10$ Número de veces que se corre las pruebas mientras mayor sea mejor es el resultado.

$$SNR = 100$$

$$SNR_LOW = -30$$

$$SNR_UP = 0$$

$$SNR_STEP = 2$$

$$Intervalo[-30, -28, -26, \dots, 0]$$

$$K = 50 \text{ Numero de bloques}$$

$$Num_ciclico = 8 \text{ Numero de prefijo cíclico. } (N_d)$$

$$N_d = 32 \text{ Tamaño de un bloque sin prefijo cíclico.}$$

```
1 # PARAMETERS
2 sigma_s = 1          # desviación de la señal primaria
3 P_FA = 0.05          # probabilidad de falso positivo deseada
4 #num_samples = 10    # número de muestras
5 NUM_STATISTICS = 200 # cantidad de veces que se repite el test
6
7 #####
8 #SNR = 10
9 #SNR_LOW = -30
10 #SNR_UP = 4
11 #SNR_STEP = 2
12
13 SNR_LOW = -20
14 SNR_UP = 6
15 SNR_STEP = 2
16
17 #SNR_NOISE = 1
18 #####
19 K = 50 #Numero de bloques
20 Num_ciclico = 8 # Numero de prefijo ciclico
21 N d = 32      # Tamaño del bloque sin el prefijo ciclico
```

```

22 -
23 N = (K + 1) * (Num_ciclico + N_d) # Tamaño de todos los bloques
24
25 SNR_list = np.arange(SNR_LOW, SNR_UP, SNR_STEP)
26 P_D_CALC_CE = np.zeros(len(SNR_list))
27 P_FA_THEO_CE = np.zeros(len(SNR_list))
28 P_FA_CALC_CE = np.zeros(len(SNR_list))
29
30
31 P_M_CALC_DE = np.zeros(len(SNR_list))
32 P_D_CALC_DE = np.zeros(len(SNR_list))

```

▼ Fase y cuadratura para el símbolo QPSK

Componentes en fase y cuadratura de cada símbolo.

```

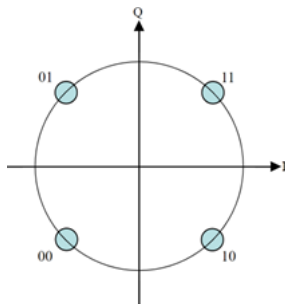
1 def fase(x):
2     if (x == [0,0]).all():
3         return np.pi*(5/4)
4     if (x == [0,1]).all():
5         return np.pi*(7/4)
6     if (x == [1,0]).all():
7         return np.pi*(3/4)
8     if (x == [1,1]).all():
9         return np.pi*(1/4)

```

```
1
```

▼ Obteniendo valor en QPSK

La modulación por desplazamiento de fase o PSK es una forma de modulación angular que consiste en hacer variar la fase de la portadora entre un número determinado de valores discretos. QPSK Es una modulación digital representada en el diagrama de constelación por cuatro puntos equidistantes del origen de coordenadas. Con cuatro fases, QPSK puede codificar dos bits por cada símbolo. La asignación de bits a cada símbolo suele hacerse mediante el código Gray, que consiste en que, entre dos símbolos adyacentes, los símbolos solo se diferencian en 1 bit, con lo que se logra minimizar la tasa de bits erróneos.



```

1 def qpsk(mensajes_salida):
2     temp = 0
3     xnr = []
4     amplitud = 100 ## Normal amplitud = 1
5     for i in range(2,len(mensajes_salida)+2,2):
6         x = mensajes_salida[temp:i] # toma de a 2
7         res = complex(amplitud * np.cos(fase(x)), amplitud * (np.sin(fase(x)))) # Componentes en fase y cuadratura de cada símbolo
8         xnr.append(res)
9         temp = i
10    return xnr

```

```

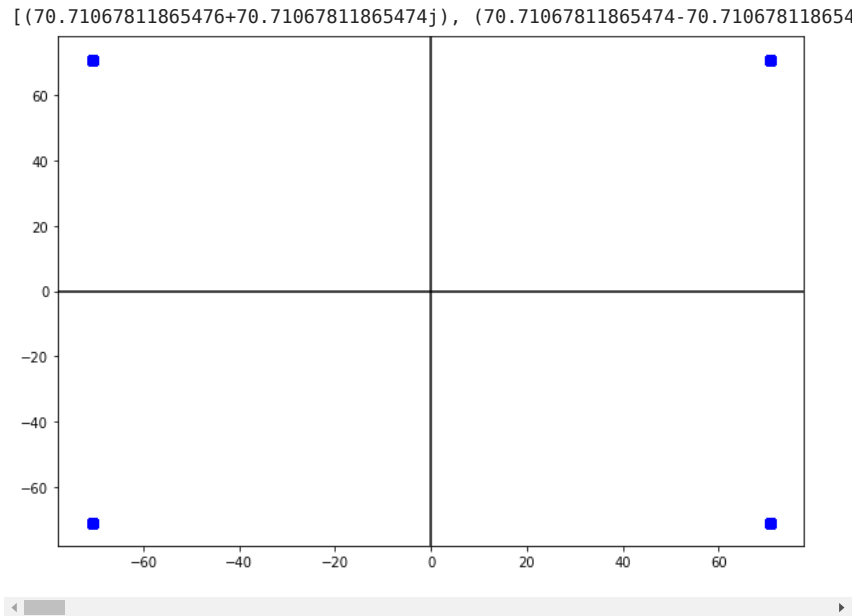
1 ##### Observando la funcion
2 muestras = 1000
3 simbolos_qpsk = (0,1)
4 real = []
5 imaginaria = []
6 mensaje = np.random.choice(simbolos_qpsk, muestras, p = (0.5,0.5))
7 vector_qpsk = qpsk(mensaje)
8 for c in vector_qpsk:
9     real.append(c.real)
10    imaginaria.append(c.imag)
11 print(vector_qpsk)
12 plt.figure(figsize=(10,7))
13 plt.plot(real, imaginaria, 'o', markersize=8, color = "b")
14 plt.plot
15 plt.axvline(color="black")

```

```

16 plt.axhline(color="black")
17 plt.show()
18

```



▼ Vector OFDM

La multiplexación por división de frecuencias ortogonales (OFDM) es una técnica de transmisión que consiste en la multiplexación de un conjunto de ondas portadoras de diferentes frecuencias, donde cada una transporta información, la cual es modulada en QAM o en PSK (QPSK). OFDM se ha convertido en un esquema popular para la comunicación digital de banda ancha, que se utiliza en aplicaciones como la televisión digital, radiodifusión digital, acceso a internet mediante línea de abonado digital (DSL), redes inalámbricas, comunicaciones mediante redes eléctricas y la telefonía móvil 4G.

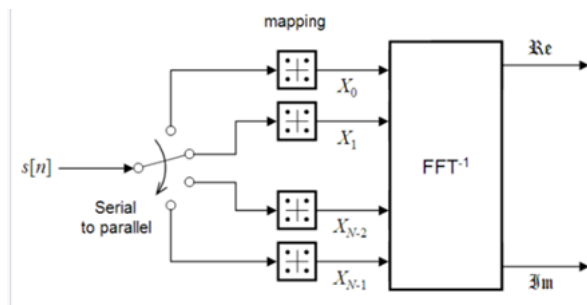


Diagrama de bloques de transmisor ideal de OFDM

En el siguiente bloque se ingresa como parámetro la cantidad de símbolos OFDM (N_{ofdm}), si se desea observar las componentes ($\text{observar} = \text{True}$) y la cantidad de componentes ($\text{componentes} = N^{\circ}$) a observar. Esta función retorna un vector al cual se le codifica en QPSK y luego se le realiza la transformada rápida inversa de Fourier (*ifftn*). Las componentes pueden observarse desplazadas ya que los símbolos están desplazados.

```

1 from sympy import ifft
2 import numpy as np
3 import scipy.fft
4 def OFDM(N_ofdm,observar,componentes):
5     cantidad_de_simbolos = 2          #[0 1]
6     cant_mensajes = N_ofdm * cantidad_de_simbolos
7     pi = (0.5 , 0.5)
8     C = (0,1)          #codificación QPSK
9     mensaje = []
10    if observar==True:
11        mensaje = np.zeros(cant_mensajes)
12        i = 0
13        while componentes > 0:
14            #print("paso")
15            mensaje[i] = 1
16            mensaje[i+1] = 1
17            #print(mensaje)
18            i += 2
19            componentes -=1
20    else:
21        mensaje = np.random.choice(C, cant_mensajes, p = pi)
22        vector_qpsk = qpsk(mensaje)
23        #Transformada de Fourier inversa

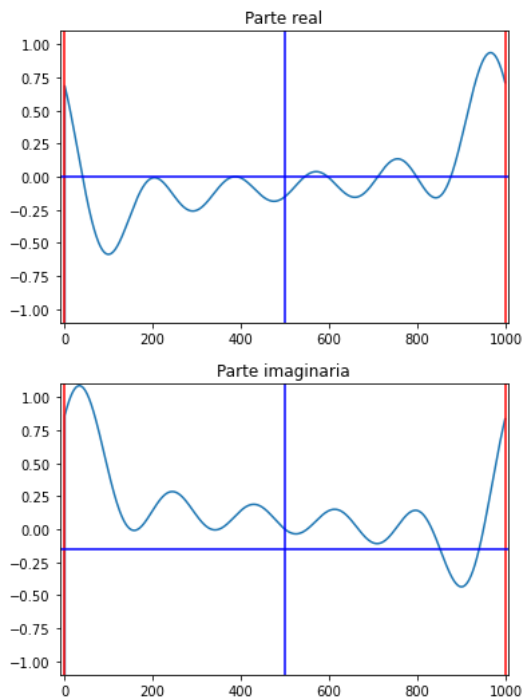
```

```

24 vector_OFDM = np.fft.ifftn(vector_qpsk)
25 vector_OFDM = np.array(vector_OFDM).reshape(len(vector_OFDM),1)
26 return vector_OFDM

1 ##### Observando la funcion
2
3 N_aux = 1000
4 observar = True
5 componentes = 6
6 V = OFDM(N_aux,observar,componentes)
7 #print(V.real)
8 #xtick_labels = np.arange(-10, 10, 2)
9 fig,ax = plt.subplots()
10
11 ylim=round(np.max(V.real),2)
12
13 plt.plot((V.real)-0.15)
14 plt.axvline(color="r")
15 plt.axvline((N_aux/2),color="b")
16 plt.axvline(N_aux,color="r")
17 plt.axhline(color="b")
18 plt.xlim(-10,(N_aux+5))
19 plt.ylim(-ylim-0.01,ylim+0.01)
20 plt.title("Parte real")
21 plt.show()
22
23 ylim=round(np.max(V.imag),2)
24 plt.plot(V.imag)
25 plt.axvline(color="r")
26 plt.axvline((N_aux/2),color="b")
27 plt.axvline(N_aux,color="r")
28 plt.axhline(-0.15,color="b")
29 plt.xlim(-10,(N_aux+5))
30 plt.ylim(-ylim-0.01,ylim+0.01)
31 plt.title("Parte imaginaria")
32 plt.show()
33

```



▼ Prefijo ciclico

Un prefijo cíclico (CP) es una copia del final de un símbolo de multiplexación por división de frecuencia ortogonal (OFDM) insertado al principio. Cada CP sirve como intervalo de guarda entre el símbolo OFDM.

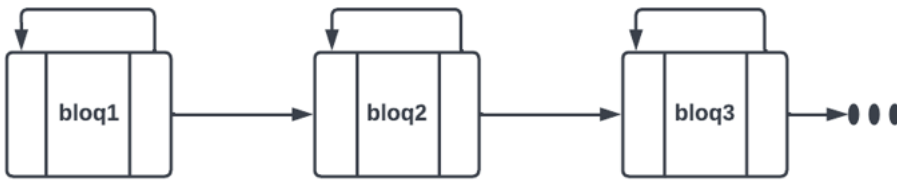
La técnica de agregar un CP permite disminuir la interferencia entre símbolos (ISI) y la interferencia entre portadoras (ICI) causadas por la propagación del retardo en el sistema OFDM.

La energía de símbolo que puede capturar un receptor OFDM depende de la longitud del CP:

Si la longitud del CP es mayor que la dispersión del retardo por trayectos múltiples de un símbolo OFDM, el receptor OFDM puede capturar toda la energía del símbolo.

Si la longitud del CP es más corta que la dispersión del retardo por trayectos múltiples de un símbolo OFDM, el receptor OFDM solo puede capturar algo de energía del símbolo.

La siguiente función recibe como parametro una señal (x), la cual contiene los distintos bloques de simbolos(tamaño = $N_d + \text{Num_ciclico}$) y a cada bloque de simbolo le extrae los Num_ciclico simbolos finales y los coloca al principio del bloque.



```

1 def prefijo_ciclico(x):
2     for k in range(K):
3         #print(k * (Num_ciclico + N_d), " : ", (k * (Num_ciclico + N_d) + Num_ciclico), "---", (k * (Num_ciclico + N_d) + N_d), " "
4         x[k * (Num_ciclico + N_d): k * (Num_ciclico + N_d) + Num_ciclico] = x[k * (Num_ciclico + N_d) + N_d: (k + 1) * (Num_ciclico + N_d)]
5     return x

1 #Observando la funcion
2 #Utiliza los parametros globales
3 print("Antes")
4 v_pc = np.arange(0,40,1)
5 print(v_pc)
6 v = prefijo_ciclico(v_pc)
7 #print("-"*20)
8 print("Despues")
9 print(v_pc)

Antes
[ 0  1  2  3  4  5  6  7  8  9 10 11 12 13 14 15 16 17 18 19 20 21 22 23
 24 25 26 27 28 29 30 31 32 33 34 35 36 37 38 39]
Despues
[32 33 34 35 36 37 38 39  8  9 10 11 12 13 14 15 16 17 18 19 20 21 22 23
 24 25 26 27 28 29 30 31 32 33 34 35 36 37 38 39]

```

▼ Sumando ruido gaussiano a la señal

El ruido gaussiano blanco aditivo (AWGN) es un modelo de ruido básico utilizado en la teoría de la información para imitar el efecto de muchos procesos aleatorios que ocurren en la naturaleza.

Este ruido proviene de muchas fuentes de ruido natural, como las vibraciones térmicas de los átomos en los conductores, ruido de disparo, fuentes celestes como el sol, entre otras. El teorema del límite central de la teoría de la probabilidad indica que la suma de muchos procesos aleatorios tenderá a tener una distribución llamada Gaussiana o Normal.

La función recibe la cantidad de simbolos del ruido N_ST el desvío de la señal del ruido sigma_w y la media (media = 0) y la señal a la cual se le añade el ruido (x).

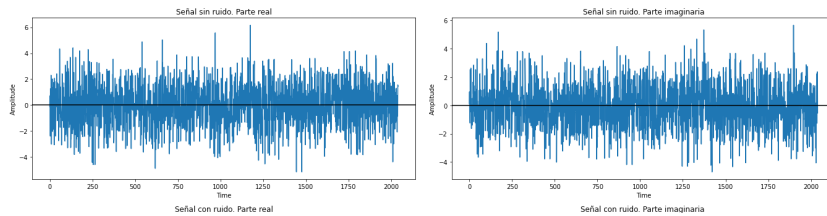
```

1 def señal_transmitida(N_ST,sigma_w,media,x):
2     w = sigma_w * np.random.randn(N_ST, 2).view(np.complex128) #+ media = 0
3     #w = sigma_w * np.random.randn(N_H1, 2).view(np.complex128)
4     #x = vec_pcf
5     #w = np.around(np.random.normal(media, sigma_w,size=(N*2)),decimals = 2).view(np.complex128)
6     señal_con_ruido = x + w
7     return señal_con_ruido

1 #1.
2 #2.
3 #N = (K + 1) * (N_c + N_d)
4 observar = False
5 componentes = 0#
6 Vec_OFDM = OFDM(N,observar,componentes)
7 vec_pcf = prefijo_ciclico(Vec_OFDM)
8 sigma_w1 = 31
9 vec_wsg = señal_transmitida(N,sigma_w1,0,vec_pcf)
10
11 fig, axs = plt.subplots(nrows=2, ncols=2, figsize=(19, 9))
12
13 axs[0, 0].set_title("Señal sin ruido. Parte real")
14 axs[0, 0].plot(vec_pcf.real, color='C0')
15 axs[0, 0].set_xlabel("Time")
16 axs[0, 0].set_ylabel("Amplitude")
17 axs[0, 0].axhline(color="black")
18

```

```
19 axs[0, 1].set_title("Señal sin ruido. Parte imaginaria")
20 axs[0, 1].plot(vec_pcf.imag, color='C0')
21 axs[0, 1].set_xlabel("Time")
22 axs[0, 1].set_ylabel("Amplitude")
23 axs[0, 1].axhline(color="black")
24
25 axs[1, 0].set_title("Señal con ruido. Parte real")
26 axs[1, 0].plot(vec_wsg.real, color='C0')
27 axs[1, 0].set_xlabel("Time")
28 axs[1, 0].set_ylabel("Amplitude")
29 axs[1, 0].axhline(color="black")
30
31 axs[1, 1].set_title("Señal con ruido. Parte imaginaria ")
32 axs[1, 1].plot(vec_wsg.imag, color='C0')
33 axs[1, 1].set_xlabel("Time")
34 axs[1, 1].set_ylabel("Amplitude")
35 axs[1, 1].axhline(color="black")
36 fig.tight_layout()
37 plt.show()
38
39 plt.hist(vec_wsg.real)
40 plt.title("Señal gaussiana")
41 plt.show()
42
43 #e = np.fft.fftn(vec_wsg)
44
45 #fig2, axs2 = plt.subplots(nrows=1, ncols=2, figsize=(19, 9))
46 #axs2[0].set_title("Señal completa")
47 #axs2[0].hist(vec_pcf.real, color='C0')
48 #axs2[0].set_xlabel("Time")
49 #axs2[0].set_ylabel("Amplitude")
50 #axs2[0].axhline(color="black")
51 #w1 = sigma_w1 * np.random.randn(N, 2).view(np.complex128)
52 #e = np.fft.fftn(w1)
53 #axs2[1].set_title("Señal ruido")
54 #axs2[1].hist(e.real, color='C0')
55 #axs2[1].set_xlabel("Time")
56 #axs2[1].set_ylabel("Amplitude")
57 #axs2[1].axhline(color="black")
58 #plt.show()
59
60
```



▼ Estadístico propuesto para CE y DE (Ciclo estacionario y Detector de energía)

Los símbolos de datos transmitidos x son independientes e idénticamente distribuidos (i.i.d.) con media cero y varianza unitaria. La función de autocorrelación (ACF) de x viene dada por:

$$rx[n, \tau] = E[x[n]x^*[n + \tau]]$$

Podemos definir $ry[n, \tau]$ y $rw[n, \tau]$ de manera similar. Debido a la inserción del CP (Prefijo cíclico), la señal $OFDM$ no es estacionaria. Por lo tanto, el $ACFrx[n, \tau]$ es variable en el tiempo pero periódico ($rx[n, \tau] = rx[n + k(Nd + Nc), \tau]$), y la señal OFDM es cicloestacionaria de segundo orden. Particularmente en un período, $rx[n, Nd]$, $n = 0, 1, \dots, Nd + Nc - 1$ se puede describir como

$$rx[n, Nd] = \begin{cases} 1, & n = 0, 1, \dots, Nc - 1 \\ 0, & n = Nc, Nc + 1, \dots, Nc + Nd - 1 \end{cases}$$

Dado que w es blanco y de media cero, $rw[n, \tau] = 0$ para cualquier $\tau \neq 0$ y $rw[n, 0] = \sigma_w^2$.

Un usuario secundario debe detectar el espectro para decidir si las señales $OFDM$ del usuario principal (PU) está presente o no. Si el usuario principal no está activo, el usuario secundario (SU) puede aprovechar la oportunidad de hacer uso del espectro disponible. En presencia de un usuario principal, la señal $OFDM$ recibida que está corrompida por un ruido gaussiano blanco aditivo (AWGN), el canal en el usuario secundario se puede modelar simplemente como $y[n] = x[n] + w[n]$, donde $w[n]$ representa el ruido $AWGN$. Por lo tanto, deseamos decidir entre las siguientes dos hipótesis:

$$\begin{aligned} H_0 : y &= w \\ H_1 : y &= x + w \end{aligned}$$

donde $w \sim CN(0; \sigma_w^2 I)$, y w es independiente de x .

El detector de energía no aprovecha la estructura especial del OFDM, al ser una señal con un CP (Prefijo cíclico). A continuación derivamos un detector basado en el cicloestacionario ACF (Función de autocorrelación) de la señal OFDM con un CP. Diseñamos un nuevo estadístico de prueba como:

$$T = \sum_{n=0}^{N_c-1} \hat{R}[n]$$

para decidir H_1 :

$$|T_{(y)}| > \gamma$$

donde la ACF $r_y[n; Nd]$ se define como

$$\hat{R}[n] = \frac{1}{K} \sum_{K=0}^{K-1} \hat{r}[n + k(N_c + N_d), Nd], n = 0, 1, \dots, N_c + N_{(d-1)}$$

con

$$\hat{r}[n, Nd] = y[n]y^*[n + Nd]$$

Tenga en cuenta que:

$$y[n], n = 0, 1, \dots, K(N_c + N_d) + N_{d-1}$$

son usado para generar

$$\hat{R}[n], n = 0, 1, \dots, N_c + N_{d-1}.$$

Según el teorema del límite central y suponiendo una $IFFT$ lo suficientemente grande, se puede suponer que $T_{(y)}$ es una variable aleatoria Gaussiana compleja.

▼ Obtención del estadístico de prueba H_0

En este caso la señal solo contiene ruido $AWGN$.

```
1 def señal_recibida(y):
2     return np.fft.fftn(y)
3
4
5 1 import math
6 def generar_estadistico_H0(NUM_STATISTICS, sigma_w, N_H0):
7     T_y = np.zeros(NUM_STATISTICS, dtype=np.complex128)
8     T_DE = np.zeros(NUM_STATISTICS)
9     for ind in range(NUM_STATISTICS):
10        #result = []
11        w = sigma_w * np.random.randn(N_H0, 2).view(np.complex128)
```

```

8         y = w
9         #y = señal_recibida(y)
10
11         # Calculate test statistic DE
12         #T_DE[ind] = np.sum(np.square(np.abs(y.real)))
13         T_DE[ind] = np.sum((np.square(np.abs(y))))
14         # Calculate test statistic CE
15         val = np.complex128(0)
16         for n in range(Num_ciclico):
17             for k in range(K):
18                 val += y[n + k * (Num_ciclico + N_d)] * np.conjugate(y[n + k * (Num_ciclico + N_d) + N_d])
19         T_y[ind] = 1 / K * val
20     return T_y, T_DE
21

```

▼ Obtención del estadístico de prueba H_1

Señal del usuario principal con ruido $AWGN$.

```

1 def generar_estadistico_H1(NUM_STATISTICS, sigma_w, N_H1):
2     T_y = np.zeros(NUM_STATISTICS, dtype=np.complex128)
3     T_DE = np.zeros(NUM_STATISTICS)
4
5     for ind in range(NUM_STATISTICS):
6         result = []
7         x = OFDM(N_H1, False, 0)
8         #x = sigma_s * np.random.randn(N_H1, 1)
9         x = prefijo_ciclico(x)
10        y = señal_transmitida(N_H1, sigma_w, 0, x)
11
12        T_DE[ind] = np.sum((np.square(np.abs(y))))
13        #T.append(np.sum(np.square(np.abs(y))))
14
15        val = np.complex128(0)
16        for n in range(Num_ciclico):
17            for k in range(K):
18                val += y[n + k * (Num_ciclico + N_d)] * np.conjugate(y[n + k * (Num_ciclico + N_d) + N_d])
19            #if n==0:
20                #print("val :", val)
21        T_y[ind] = 1 / K * val
22
23    return T_y, T_DE

```

▼ Obtención de σ_w a partir del SNR y σ_s

SNR

El SNR se puede denotar también como $\gamma = \frac{\sigma_s^2}{\sigma_w^2}$ donde σ_s^2 es la varianza de la señal de un usuario principal y σ_w^2 es la varianza del ruido.

Cuando expresamos el ruido en decibelios obtenemos la figura del ruido de la siguiente manera:

$$SNR = 10 * \log_{10} F$$

donde F es el factor de ruido en este caso es $\gamma = \frac{\sigma_s^2}{\sigma_w^2}$ entonces:

$$SNR = 10 * \log_{10} \frac{\sigma_s^2}{\sigma_w^2}$$

despejando se obtiene

$$\begin{aligned} \frac{SNR}{10} &= \log_{10} \frac{\sigma_s^2}{\sigma_w^2} \\ 10^{\frac{SNR}{10}} &= \frac{\sigma_s^2}{\sigma_w^2} \\ \sigma_w^2 &= \frac{\sigma_s^2}{10^{\frac{SNR}{10}}} \\ \sigma_w &= \sqrt{\frac{\sigma_s^2}{10^{\frac{SNR}{10}}}} \end{aligned}$$

La relación señal/ruido o S/R (signal-to-noise-ratio, (SNR)) se define como la proporción existente entre la potencia de la señal que se transmite y la potencia del ruido que la corrompe.

La siguiente función retorna un σ_w a partir de un SNR y un σ_s .

```

1 def ret_sigma_w(SNR, sigma_s):
2     #SNR_NOISE = 1
3     sigma_w = np.sqrt(sigma_s ** 2 / 10 ** (SNR / 10))
4     #sigma_w = np.sqrt(sigma_w * 10 ** (SNR_NOISE / 10))
5     return sigma_w

```



```

1 Senr = -28
2 a = ret_sigma_w(Senr,1)
3 print("a : ",a)
4 print(10*np.log10(1/((25**2))))
5
6
7 #b = 8/(50*(a** 4))
8 #print("b : ",b)
9 #c = chi2.isf(q=P_FA, df=2)
10 #Num_ciclico / K * (sigma_w ** 4)
11 #print("Desvio :", (Num_ciclico / (K*a**4)))
12 #p = (chi2.isf(q=P_FA, df=2) * (((Num_ciclico / (2*K)) * ((2*a) ** 4))))
13 #print("p :",p)
14 #print(np.sqrt(round(p,4)))
15 #print("fin", (chi2.isf(q=P_FA, df=2) * (2*(a ** 2))))

a : 25.118864315095795
-27.95880017344075

```

FUNCIÓN PRINCIPAL

En esta función se obtienen los estadísticos H_0 y H_1 para distintos SNR

A modo de ejemplo para un cierto SNR se resetean las variables

NUM_FALSE_ALARM = 0

NUM_DETECTION = 0

calculamos el σ_w luego calculamos nuestro gamma de acuerdo a la distribución X^2 la cual la calculamos con una probabilidad de $P_{FA} = 0.05$ para el detector ciclo estacionario utilizamos un número dos grado de libertad ($df = 2 H_0$ y H_1) y un desvío $\frac{N_c}{K \cdot \sigma_w^4}$ luego, la función generar_estadistico_H0 nos devuelve un vector en el cuál tenemos los valores del análisis de cada bloque con el estadístico $T_{(y)} H_0$ ahora lo evaluamos con nuestro gamma_CE para tomar la decisión sin $T_{(y)} H_0 > \gamma$ incrementamos NUM_FALSE_ALARM y si la función generar_estadistico_H1 nos devuelve $T_{(y)} > \gamma$ incrementamos NUM_DETECTION.

Finalmente

$$P_{FA_CALC_CE} = \frac{NUM_FALSE_ALARM}{NUM_STATISTICS}$$

$$P_{D_CALC_CE} = \frac{NUM_DETECTION}{NUM_STATISTICS}$$

▼ Observacion de γ

```

1
2 def imprimir(T_aux_H0_CE,T_aux_H1_CE,T_aux_H0_DE,T_aux_H1_DE,SNRS ,gammas_CE,gammas_DE):
3
4     fig, axs = plt.subplots(nrows=2, ncols=3, figsize=(20, 9))
5
6     axs[0, 0].set_title("Detector ciclo estacionario SNR:"+str(SNRS[0]))
7     axs[0, 0].hist(T_aux_H0_CE[0].real,bins = 30,edgecolor = "black", color='C0')
8     axs[0, 0].hist(T_aux_H1_CE[0].real, bins = 30,edgecolor = "black",color='r')
9     axs[0, 0].axvline(gammas_CE[0],color="black",ymin=0.02,ymax=1,linestyle="-")
10
11     axs[0, 1].set_title("Detector ciclo estacionario SNR:"+str(SNRS[1]))
12     axs[0, 1].hist(T_aux_H0_CE[1].real,bins = 30,edgecolor = "black", color='C0')
13     axs[0, 1].hist(T_aux_H1_CE[1].real, bins = 30,edgecolor = "black",color='r')
14     axs[0, 1].axvline(gammas_CE[1],color="black",ymin=0.02,ymax=1,linestyle="-")
15
16     axs[0, 2].set_title("Detector ciclo estacionario SNR:"+str(SNRS[2]))
17     axs[0, 2].hist(T_aux_H0_CE[2].real,bins = 30,edgecolor = "black", color='C0')
18     axs[0, 2].hist(T_aux_H1_CE[2].real, bins = 30,edgecolor = "black",color='r')
19     axs[0, 2].axvline(gammas_CE[2],color="black",ymin=0.02,ymax=1,linestyle="-")
20
21     axs[1, 0].set_title("Detector de energía SNR:"+str(SNRS[0]))
22     axs[1, 0].hist(T_aux_H0_DE[0].real,bins = 30,edgecolor = "black", color='C0')
23     axs[1, 0].hist(T_aux_H1_DE[0].real, bins = 30,edgecolor = "black",color='r')
24     axs[1, 0].axvline(gammas_DE[0],color="C2",ymin=0.02,ymax=1,linestyle="-")
25
26     axs[1, 1].set_title("Detector de energía SNR:"+str(SNRS[1]))
27     axs[1, 1].hist(T_aux_H0_DE[1].real,bins = 30,edgecolor = "black", color='C0')
28     axs[1, 1].hist(T_aux_H1_DE[1].real, bins = 30,edgecolor = "black", color='r')
29     axs[1, 1].axvline(gammas_DE[1],color="C2",ymin=0.02,ymax=1,linestyle="-")
30
31     axs[1, 2].set_title("Detector de energía SNR:"+str(SNRS[2]))
32     axs[1, 2].hist(T_aux_H0_DE[2].real,bins = 30,edgecolor = "black",color='C0')

```

```

33  axs[1, 2].hist(T_aux_H1_DE[2].real, bins = 30,edgecolor = "black",color='r')
34  axs[1, 2].axvline(gammas_DE[2],color="C2",ymin=0.02,ymax=1,linestyle="-")
35  plt.show()
36

1
2 #Parametros para evaluar SNR en el detector de energía
3 T_aux_H0_CE = []
4 T_aux_H1_CE = []
5
6 T_aux_H0_DE = []
7 T_aux_H1_DE = []
8
9 SNRS = []
10 gammas_DE = []
11 gammas_CE = []
12
13 for ind, SNR in enumerate(SNR_list):
14     NUM_FALSE_ALARM = 0
15     NUM_DETECTION = 0
16     NUM_FALSE_ALARM_DE = 0
17     NUM_DETECTION_DE = 0
18     NUM_MISS_DETECTION_DE = 0
19
20     sigma_w = ret_sigma_w(SNR,sigma_s)
21
22     gamma_CE = chi2.isf(q=P_FA, df=2)* Num_ciclico / K * (sigma_w ** 4) #* Num_ciclico / (K * (sigma_w ** 4))
23     gamma_DE = scs.chi2.isf(q=P_FA, df=N) * 2*(sigma_w ** 2)
24     #gamma_DE = scs.norm.isf(P_FA) * ( 2*np.sqrt(2*N*(sigma_w)**4)) + N*(sigma_w)**2
25
26     T_y_0_CE,T_y_0_DE = generar_estadistico_H0(NUM_STATISTICS, sigma_w, N)
27     T_y_1_CE,T_y_1_DE = generar_estadistico_H1(NUM_STATISTICS, sigma_w, N)
28     #media_H0 = 2*N*sigma_w**2
29     #media_H1 = 2*N*(sigma_s**2+sigma_w**2)
30     #gamma_DE = ((-np.square(media_H1) + np.square(media_H0))/( (2*(media_H0)) - (2*media_H1)))
31
32     if ind == 4:
33
34
35         #media_H0 = 2*N*sigma_w**2
36         #media_H1 = np.mean(T_y_1_DE)
37
38         #valor = ((-np.square(media_H1) + np.square(media_H0))/( (2*(media_H0)) - (2*media_H1)))
39
40         print("sigma_w",sigma_w," media h1:",np.mean(T_y_1_DE)," N:",N," mediaH0:",np.mean(T_y_0_DE)," sigma calcu",N*sigma_w*
41         #print("este deberia ser similar a-->", np.mean(T_y_0_DE)," -->", gamma_DE)
42         #print("MEDIA CALCULADA -->", (N*sigma_w**2), "SIGMA ",sigma_w)
43
44         #print("2m-->", np.mean(T_y_1_DE))
45         #print("1s-->", np.std(T_y_0_DE))
46         #print("2s-->", np.std(T_y_1_DE))
47         #print("N ",N)
48
49         T_aux_H0_CE.append(np.square(np.abs(T_y_0_CE)))
50         T_aux_H1_CE.append(np.square(np.abs(T_y_1_CE)))
51
52         T_aux_H0_DE.append(T_y_0_DE)
53         T_aux_H1_DE.append(T_y_1_DE)
54
55         SNRS.append(SNR)
56         gammas_CE.append(gamma_CE)
57         gammas_DE.append(gamma_DE)
58         #plt.hist(T_y_0_DE,bins = 30)
59         #plt.plot()
60         #print("sigma_w :",sigma_w)
61     if SNR == -14:
62         print("sigma_w",sigma_w," media h1:",np.mean(T_y_1_DE)," N:",N," mediaH0:",np.mean(T_y_0_DE)," sigma calcu",N*sigma_w*
63         T_aux_H0_CE.append(np.square(np.abs(T_y_0_CE)))
64         T_aux_H1_CE.append(np.square(np.abs(T_y_1_CE)))
65
66         T_aux_H0_DE.append(T_y_0_DE)
67         T_aux_H1_DE.append(T_y_1_DE)
68
69         SNRS.append(SNR)
70         gammas_CE.append(gamma_CE)
71         gammas_DE.append(gamma_DE)
72
73     if SNR == 2:
74         print("sigma_w",sigma_w," media h1:",np.mean(T_y_1_DE)," N:",N," mediaH0:",np.mean(T_y_0_DE)," sigma calcu",N*sigma_w*
75         T_aux_H0_CE.append(np.square(np.abs(T_y_0_CE)))
76         T_aux_H1_CE.append(np.square(np.abs(T_y_1_CE)))
77

```

```

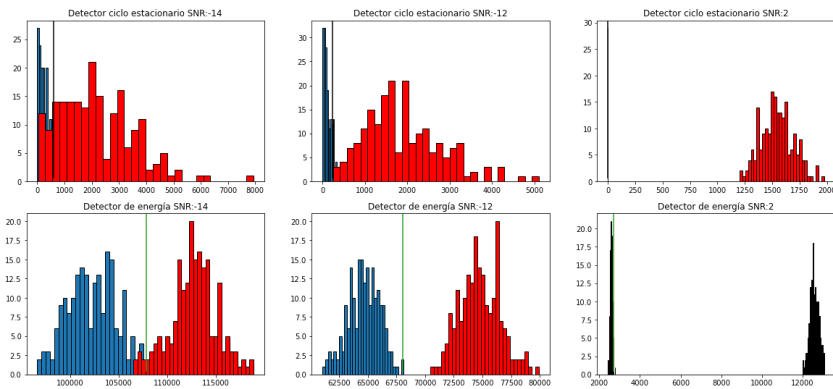
78 T_aux_H0_DE.append(T_y_0_DE)
79 T_aux_H1_DE.append(T_y_1_DE)
80
81 SNRS.append(SNR)
82 gammas_CE.append(gamma_CE)
83 gammas_DE.append(gamma_DE)
84
85 ##### Ciclo estacionario #####
86 for T in T_y_0_CE:
87     if np.square(np.abs(T)) >= gamma_CE:
88         NUM_FALSE_ALARM += 1
89
90 for T in T_y_1_CE:
91     if np.square(np.abs(T)) >= gamma_CE:
92         NUM_DETECTION += 1
93
94 P_FA_CALC_CE[ind] = NUM_FALSE_ALARM / NUM_STATISTICS
95 P_D_CALC_CE[ind] = NUM_DETECTION / NUM_STATISTICS
96 P_FA_THEO_CE[ind] = P_FA
97
98 ##### Detector de energia #####
99 for T in T_y_0_DE:
100     if T >= (gamma_DE):
101         NUM_FALSE_ALARM_DE += 1
102
103 for T in T_y_1_DE:
104     if T >= (gamma_DE):
105         NUM_DETECTION_DE += 1
106
107 P_M_CALC_DE[ind] = NUM_MISS_DETECTION_DE / NUM_STATISTICS
108 P_D_CALC_DE[ind] = NUM_DETECTION_DE / NUM_STATISTICS
109
110 #gammas_DE[0] = valor
111 #print("valor",valor)
112 print("NUM_STATISTICS :",NUM_STATISTICS)
113 print("N :",N)
114 imprimir(T_aux_H0_CE,T_aux_H1_CE,T_aux_H0_DE,T_aux_H1_DE,SNRS ,gammas_CE,gammas_DE)

```

```

sigma_w 5.011872336272722 media h1: 112677.61285532663 N: 2040 mediaH0:
sigma_w 3.9810717055349722 media h1: 74784.12052273113 N: 2040 mediaH0:
sigma_w 0.7943282347242815 media h1: 12568.468931487338 N: 2040 mediaH0:
NUM_STATISTICS : 200
N : 2040

```



▼ Comparando metodos

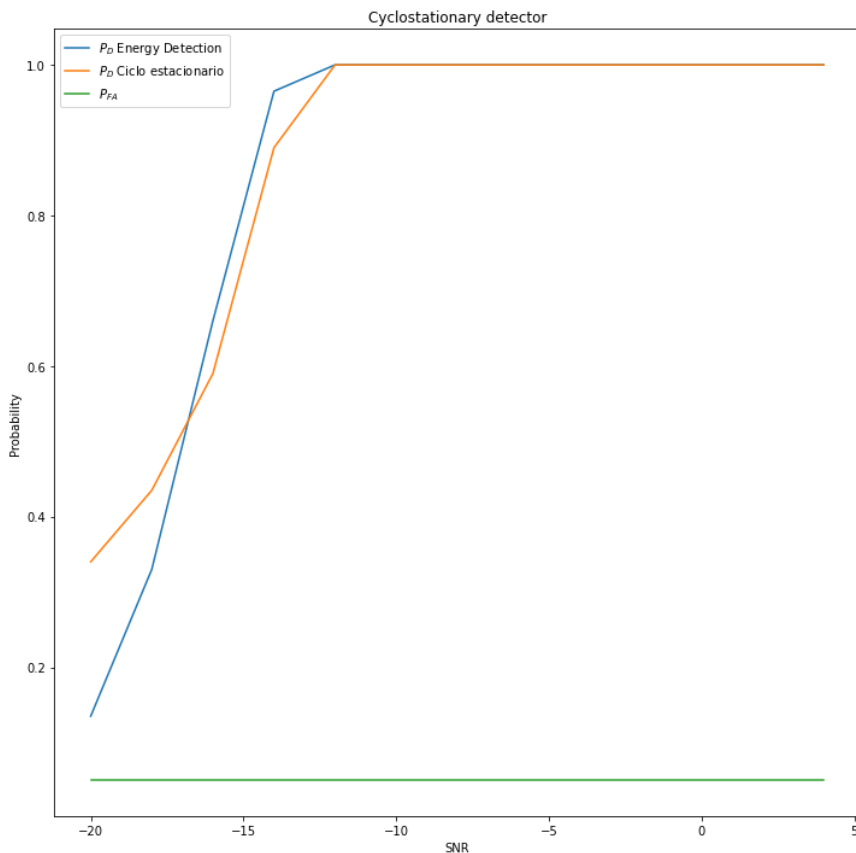
Finalmente comparamos los resultados obtenidos anteriormente para los distintos SNR de los dos métodos.

En el eje vertical se colocó la probabilidad de detección tanto del ciclo estacionario como del detector de energía y en el eje horizontal se colocaron los distintos SNR

```

1 plt.figure(figsize=(12,12))
2 plt.plot(SNR_list, P_D_CALC_DE, label="$P_D$ Energy Detection")
3 plt.plot(SNR_list, P_D_CALC_CE, label="$P_D$ Ciclo estacionario")
4 plt.plot(SNR_list, P_FA_THEO_CE, label="$P_{FA}$")
5 plt.xlabel("SNR")
6 plt.ylabel("Probability")
7 plt.title("Cyclostationary detector")
8 plt.legend()
9 plt.show()

```



En la gráfica anterior es posible observar claramente que los resultados obtenidos para una baja relación señal-ruido en el modelo de características ciclo estacionaria son mejores que las respuestas del detector de energía. Sin embargo implementar un sistema de sensado por ciclos estacionarios requiere que se cumplan ciertas condiciones respecto a la utilización del canal, específicamente las señales transmitidas por el ancho de banda que está siendo sensado deben tener propiedades cicloestacionaria.

Para la elección alguno de los métodos propuestos debemos tener en cuenta:

Método de detección	Parámetro de decisión	Ventajas	Desventajas	Mejoras sugeridas
Detector de energía	Comparación de la energía de la señal recibida con un umbral	Simple de implementar, no requiere información previa sobre la señal primaria	No puede funcionar en un entorno SNR bajo, tiene una alta tasa de falsas alarmas	Detector de energía mejorado, detector de energía adaptativa de ruido, detector de energía de umbral adaptativo
Detector de características cicloestacionarias	Comparación de los valores distintos de cero obtenidos por CSD para las propiedades cicloestacionarias de la señal primaria	Robusto al ruido, puede diferenciar entre diferentes tipos de transmisiones primarias	Fallará si la señal primaria no tiene propiedad cicloestacionaria, tiene una alta complejidad computacional, alto costo, requiere algún conocimiento previo de la señal primaria	Reducción de la complejidad: dividiendo la entrada en subseries, submuestreando la señal mediante tunelización
Detector de filtro emparejado	Correlacionar la señal recibida con la señal primaria ya conocida	Requiere menos tiempo de detección, óptimo si se conoce la señal principal	Alta complejidad ya que requiere un receptor separado para cada usuario principal, requiere un conocimiento previo sobre la señal principal	Detección coherente usando menos detalles con respecto a la señal primaria

Bibliografía utilizada:

<https://revistas.udistrital.edu.co/index.php/reving/article/view/2699>

<http://blog.espol.edu.ec/estg1003/category/temas-por-unidad/temas-2da-evaluacion/funciones-densidad-y-acumulada/>

https://www.researchgate.net/publication/269672304_Energy_Detection_Technique_for_Spectrum_Sensing_in_Cognitive_Radio_A_Survey

<https://github.com/vineeths96/Spectrum-Sensing-for-Cognitive-Radio>

<https://www.scirp.org/journal/paperinformation.aspx?paperid=101790#ref6>

https://en.wikipedia.org/wiki/Signal-to-noise_ratio

<https://en.wikipedia.org/wiki/Q-function>

https://es.wikipedia.org/wiki/Radio_cognitiva

[https://www.idc-](https://www.idc-online.com/technical_references/pdfs/data_communications/ENERGY%20DETECTION.pdf)

[online.com/technical_references/pdfs/data_communications/ENERGY%20DETECTION.pdf](https://www.idc-online.com/technical_references/pdfs/data_communications/ENERGY%20DETECTION.pdf)

Energía y Potencia:

https://www.siue.edu/~yadwang/ECE351_Lec3.pdf (pag 29)

<https://www.rgpv.ac.in/campus/ECE/EC%20402%20SignalSystems%20Notes.pdf> (pag 4)